

О. Є. Андрейків¹, В. Р. Скальський², В. К. Опанасович², І. Я. Долінська²,
І. П. Штойко¹

ВИЗНАЧЕННЯ ПЕРІОДУ ДОКРИТИЧНОГО РОСТУ ПОВЗУЧО-ВТОМНИХ ТРІЩИН ЗА БЛОЧНОГО НАВАНТАЖЕННЯ

Сформульовано математичну модель для дослідження процесів поширення повзучо-втомних тріщин у пластинах за блочного навантаження. Досліджено вплив форми блоків навантаження на довговічність елементів конструкцій. Визначено докритичний ріст повзучо-втомних тріщин у тонкостінних елементах конструкцій.

Проблема надійності та довговічності елементів конструкцій тривалого експлуатування має особливо важливе наукове та прикладне значення у різних галузях промисловості. Для оцінки їхнього ресурсу необхідно враховувати появу в матеріалі дефектів типу тріщин (втомних тріщин) і розвитку останніх.

У випадку регулярного навантаження теорія втомного руйнування на сьогодні вивчена досить детально як в експериментальному, так і в теоретичному моделюванні цього явища [1, 7, 11, 12]. Однак при експлуатації елементи конструкцій зазнають складних режимів навантаження, у тому числі й блочного. На сьогодні побудовано низку розрахункових моделей для дослідження росту втомних тріщин у циклі блочного навантаження [4, 5, 12, 13]. Проте вплив високих температур, коли виникає високотемпературна повзучість і є циклічний розтяг з різними витримками в циклі блоку, вивчений недостатньо.

Метою роботи є дослідити ріст повзучо-втомних тріщин в умовах дії блочного навантаження і розробити на цій основі ефективний метод прогнозування залишкової довговічності елементів конструкцій з дефектами типу тріщин.

Постановка задачі і метод її розв'язання. Розглянемо нескінченну пластину, послаблену прямолінійною тріщиною початкової довжини $2\ell_0$, яка нагріта до високої температури T_0 , що викликає в зоні передруйнування високотемпературну повзучість, а в нескінченно віддалених точках піддана блочному навантаженню, що описується функцією $F(t)$. Вважаємо, що зусилля блоку навантаження напрямлені перпендикулярно до лінії розміщення тріщини і змінюються з часом t як блочні навантаження.

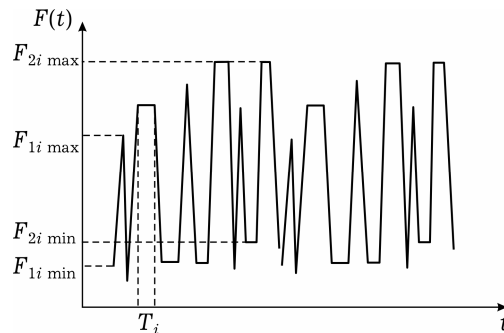


Рис. 1

При цьому блок $F(t)$ складається із двох типів зусиль: $F_1(t)$ має n піків без витримки, а блок $F_2(t)$ має k піків з витримкою T_i , $i = 1, 2, \dots, k$ (див. рис. 1).

У розглядуваному випадку приймаємо, що тріщина є макроскопічною, а напружено-деформований стан симетричний і описується в околі її вершини тільки коефіцієнтом інтенсивності напружень K_I .

Задача полягає у визначенні кількості блоків навантаження $N = N_*$, коли в результаті повзучо-втомного руйнування тріщина підросте до критичного розміру ℓ_* , і пластина зруйнується.

Вважаючи процес росту тріщини неперервним, енергетичний баланс цього процесу для кожного моменту часу t запишемо у вигляді [2, 9]

$$A = W + \Gamma + Q + K, \quad (1)$$

де A – робота зовнішніх сил; Γ – енергія руйнування тіла; Q – величина виділеної теплової енергії під час руйнування пластини, яка є сталою за високої температури; K – кінетична енергія, яка в розглядуваному випадку буде малою величиною; W – енергія деформування пластини після просування тріщини на величину $\Delta\ell$, яку подамо як

$$W = W_e + W_p^{(1)}(\ell) - W_p^{(2)}(t). \quad (2)$$

Тут W_e – пружна складова W ; $W_p^{(1)}(\ell)$ – частина роботи пластичних деформацій у зоні передруйнування за розтягу від зусиль $F(t)$, яка залежить тільки від довжини тріщини ℓ ; $W_p^{(2)}(t)$ – частина роботи пластичних деформацій при розвантаженні тіла в блоці і стиску зони передруйнування, яка залежить тільки від часу t (власне, від кількості блоків навантаження $N = t/T_n$, де T_n – тривалість одного блоку навантаження), і генерується самою пластиною.

Оскільки виконується умова (1) балансу енергій, то буде виконуватись і умова балансу швидкостей їх зміни. З огляду на це, а також враховуючи результати праці [2], запишемо

$$\frac{\partial(\Gamma - (A - W_e - W_p^{(1)}))}{\partial\ell} \cdot \frac{d\ell}{dN} - \frac{\partial W_p^{(2)}}{\partial N} = 0. \quad (3)$$

На основі результатів [9] похідну від виразу за ℓ у лівій частині рівняння (3) визначаємо так:

$$\frac{\partial(\Gamma - (A - W_e - W_p^{(1)}))}{\partial\ell} = \gamma_{fC} - \gamma_t, \quad (4)$$

де γ_t – питома енергія пластичного деформування у зоні передруйнування біля вершини тріщини, яка залежить тільки від її довжини ℓ ; γ_{fC} – питома енергія руйнування при поширенні повзучо-втомної тріщини.

У випадку блочного навантаження з витримкою у блоці розглядаємо практичні часи витримок. Тоді основну частку часу інкубаційного періоду займатиме неусталена повзучість. Із результатів експериментальних досліджень відомо, що швидкість зміни енергії деформування за повзучості є порівняно малою величиною, тому надалі в обчисленнях нею будемо нехтувати. Для цього випадку з рівняння (3), враховуючи (4) і результати [2], для швидкості поширення макротріщини отримаємо рівняння

$$\frac{d\ell}{dN} = \frac{W_1}{\gamma_{fC} - \gamma_t} \quad (5)$$

з початковою

$$N = 0, \quad \ell(0) = \ell_0, \quad (6)$$

і кінцевою умовами

$$N = N_*, \quad \ell(N_*) = \ell_*, \quad \gamma_t(\ell_*) = \gamma_{fC}. \quad (7)$$

Тут $W_1 = \sum_{v=1}^n W_1^{(v)} + \sum_{i=1}^k W_2^{(i)}$ – робота пластичних деформацій розтягу у зоні передруйнування біля вершини тріщини за час одного блоку навантаження, які генерує сама пластина; $W_1^{(v)}$, $v = 1, \dots, n$, – робота пластичних деформацій розтягу для v -го піку навантаження без витримки в блоці; n – кількість піків навантаження без витримки в блоці; $W_2^{(i)}$ – робота пластичних деформацій розтягу для i -го піку навантаження з витримкою в блоці; k – кількість піків навантаження з витримкою в блоці.

Використовуючи результати праць [2, 3], для величин W_1 , γ_{fC} , γ_t , що входять у рівняння (5), отримаємо такі вирази:

$$\begin{aligned}
W_1 &= \frac{1}{4} \alpha_0 \sigma_t^{-1} E^{-2} \pi^2 \ell^2 \sum_{i=1}^{n_1} (1 - R_i)^4 \left[\left(F_{1i \max}^2 + F_{2i \max}^2 + \right. \right. \\
&\quad \left. \left. + A_2 \left[\frac{F_{2i \max}}{K_{fC}} \right]^{2m} (\pi \ell)^{2m-1} \ln \left(\frac{t_0 + T_i}{t_1} \right) \right)^2 - \right. \\
&\quad \left. - \left(F_{th}^2 + A_2 \left[\frac{F_{th}}{K_{fC}} \right]^{2m} (\pi \ell)^{2m-1} \ln \left(\frac{t_0 + T_i}{t_1} \right) \right)^2 \right], \\
\gamma_t &= \pi \ell E^{-1} F_s^2, \quad \gamma_C = K_{fC}^2 E^{-1}, \quad F_s = \max_i \{ F_{1i}, F_{2i} \}, \quad (8)
\end{aligned}$$

де α_0 – втомна характеристика матеріалу, яка визначається із експерименту; A_1 , m , t_1 – експериментально встановлені константи високотемпературної повзучості; $A_2 = A_1 t_0 E \sigma_t$; $t_0 = 1$ год; $R_i = F_{i \min} / F_{i \max}$; n_1 – кількість циклів у блочному навантаженні $F(t)$. Тут n_1 складається із n ділянок у блоці навантаження $F_1(t)$ зі своїм максимумом $F_{1i \max}$ і мінімумом $F_{1i \min}$ і k ділянок у блочному навантаженні з витримкою у блоці $F_2(t)$ зі своїм максимумом $F_{2i \max}$ і мінімумом $F_{2i \min}$ (рис. 1); T_i – час i -ї витримки навантаження $F_{2i}(t)$; F_{th} – величина зовнішнього навантаження, за якого не буде поширення тріщини ($K_{th} = F_{th} \sqrt{\pi \ell}$); K_{fC} – критичне значення коефіцієнта інтенсивності K_I напружень за блочного навантаження; E – модуль пружності; σ_t – усереднені напруження у зоні переддруйнування.

Підставивши (8) у рівняння (5), з використанням (6), (7) отримаємо

$$\begin{aligned}
\frac{d\ell}{dN} &= \frac{\alpha_0 \pi^2 \ell^2}{4 \sigma_t E [K_{fC}^2 - F_s^2 \pi \ell]} \sum_{i=1}^{n_1} (1 - R_i)^4 \left[\left(F_{1i \max}^2 + F_{2i \max}^2 + \right. \right. \\
&\quad \left. \left. + A_2 \left[\frac{F_{2i \max}}{K_{fC}} \right]^{2m} (\pi \ell)^{2m-1} \ln \left(\frac{t_0 + T_i}{t_1} \right) \right)^2 - \right. \\
&\quad \left. - \left(F_{th}^2 + A_2 \left[\frac{F_{th}}{K_{fC}} \right]^{2m} (\pi \ell)^{2m-1} \ln \left(\frac{t_0 + T_i}{t_1} \right) \right)^2 \right], \quad (9)
\end{aligned}$$

$$N = 0, \quad \ell(0) = \ell_0, \quad (10)$$

$$N = N_*, \quad \ell(N_*) = \ell_*, \quad K_I(\ell_*) = K_{fC}. \quad (11)$$

Таким чином, розв'язок задачі (5)–(7) подано рівнянням (9) та умовами (10), (11).

Пластина із системою повзучо-втомних тріщин. Розглянемо пластину, послаблену системою m_1 макроскопічних тріщин, піддану дії змінних у часі зусиль $F(t)$ і нагріту до високої температури T_0 , яка викликає в зоні переддруйнування високотемпературну повзучість. Нехай конфігурація пластини та геометричне розміщення тріщин визначаються лінійними параметрами a_1, \dots, a_{k_1} , а геометрична конфігурація кожної тріщини – параметрами b_1, \dots, b_p . Прийнемо параметри такими, що при $a_q \rightarrow \infty$, $q = 1, 2, \dots, k_1$, отримаємо необмежену пластину, послаблену однією тріщиною конфігурації b_j , $j = 1, \dots, m_1$. Виберемо в s -й вершині, $s = 1, 2$, кожної тріщини L_j

локальну систему координат $O^{(j,s)}\rho^{(j,s)}\theta^{(j,s)}$ (див. рис. 2, де наведено схему навантаження пластини із системою повзучо-втомних тріщин) і позначимо через $\Delta\ell^{(j,s)}$ приріст j -ї тріщини відповідно на її кінцях. Вважаємо, що зміна зусиль має блочний характер, які змінюються як $F(t)$ (див. рис. 1). Задача полягає у визначенні кількості блоків $N = N_*$ (залишкова довговічність), за досягнення якої довжина однієї з тріщин L_ξ досягне критичного значення $\ell_\xi = \ell_{\xi*}$, і пластина зруйнується.

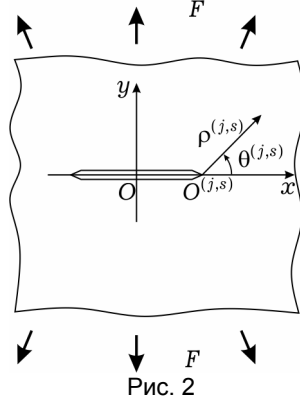


Рис. 2

Для реалізації такої задачі зробимо узагальнення на випадок поданого вище енергетичного підходу, а також скористаємося відомою [5] гіпотезою, що поширення повзучо-втомних тріщин буде проходити у напрямку максимально можливих їх швидкостей. В результаті цього задачу зведемо до розв'язання такої системи диференціальних рівнянь:

$$\frac{d\ell^{(j,s)}}{dN} = \frac{W_1^{(j,s)}}{\gamma_{fC} - \gamma_t^{(j,s)}}, \quad (12)$$

$$\frac{\partial}{\partial \theta^{(j,s)}} \left[\frac{W_1^{(j,s)}}{\gamma_{fC} - \gamma_t^{(j,s)}} \right]_{\theta^{(j,s)} = \theta_t^{(j,s)}} = 0 \quad (13)$$

за початкової

$$N = 0, \quad \ell^{(j,s)}(0) = \ell_0^{(j,s)}, \quad (14)$$

і кінцевої умов

$$N = N_*, \quad \ell^{(\xi,s)}(N_*) = \ell_*^{(\xi,s)}, \quad \gamma_t^{(\xi,s)}(\ell_*^{(\xi,s)}) = \gamma_{fC},$$

$$\max_j [\gamma_t^{(j,s)}(\ell_*^{(j,s)})(\gamma_{fC})^{-1}] = \gamma_t^{(\xi,s)}(\ell_*^{(\xi,s)})(\gamma_{fC})^{-1}. \quad (15)$$

Тут $W_1^{(j,s)} = \sum_{v=1}^n W_{1v}^{(j,s)} + \sum_{i=1}^k W_{2i}^{(j,s)}$ – робота пластичних деформацій розтягу у зоні передруйнування біля s -ї вершин тріщини L_j , які генерує сама пластина; $W_{1v}^{(j,s)}$ – робота пластичних деформацій розтягу для v -го піку навантаження без витримки в блоці; $W_{2i}^{(j,s)}$ – робота пластичних деформацій розтягу для i -го піку навантаження з витримкою в блоці; $\gamma_t^{(j,s)}$ – величина роботи пластичних деформацій у зоні передруйнування біля s -ї вершин тріщини L_j ; γ_{fC} – її критичне значення; $\theta_t^{(j,s)}$ – значення кутів $\theta^{(j,s)}$, що визначають напрямок поширення кінців L_j тріщини; $\ell_*^{(j,s)}$ – критичне підростання s -го кінця тріщини L_j при руйнуванні пластини. Згідно з [2, 5] ці величини визначаємо так:

$$W_1^{(j,s)}(\ell) = \alpha_0 \int_0^{\ell^{(j,s)}} ((\delta_{I\theta}^{(j,s)}(x)\sigma_{0t}^{(j,s)} + \delta_{II\theta}^{(j,s)}(x)\tau_{0t}^{(j,s)}) -$$

$$- ((\delta_{I\theta}^{(j,s)}(x)\sigma_{0t}^{(j,s)} + \delta_{II\theta}^{(j,s)}(x)\tau_{0t}^{(j,s)})) dx,$$

$$\gamma_t^{(j,s)}(\ell) = \delta_t^{(j,s)}\sigma_t^{(j,s)} = \delta_{It}^{(j,s)}\sigma_{10t}^{(j,s)} + \delta_{II t}^{(j,s)}\tau_{0t}^{(j,s)},$$

$$\gamma_{fC} = \delta_C \sigma_t = (K_{fC}^{(j)})^2 E^{-1},$$

$$\delta_{It}^{(j,s)} = \frac{(K_{I\theta}^{(j,s)})^2}{E \sigma_{0t}^{(j,s)}}, \quad \delta_{II\theta}^{(j,s)} = \frac{(K_{II\theta}^{(j,s)})^2}{E \tau_{0t}^{(j,s)}}, \quad (16)$$

де $\delta_t^{(j,s)}$ – розкриття у зоні переддруйнування біля s -ї вершини тріщини L_j ; $\delta_{I\theta}^{(j,s)}$, $\delta_{II\theta}^{(j,s)}$ – проєкції $\delta_t^{(j,s)}$ на напрямні орти полярної системи координат $O^{(j,s)} \rho^{(j,s)} \theta^{(j,s)}$ (рис. 2); $\sigma_t^{(j,s)}$ – усереднені напруження в зоні переддруйнування біля s -ї вершини тріщини L_j ; $\sigma_{0t}^{(j,s)}$, $\tau_{0t}^{(j,s)}$ – відповідні їх проєкції; $K_I^{(j,s)}$, $K_{II}^{(j,s)}$ – коефіцієнти інтенсивності напружень (КІН) біля s -ї вершини j -ї тріщини вздовж лінії її розміщення; $K_{I\theta}^{(j,s)}$, $K_{II\theta}^{(j,s)}$ – аналогічні значення уздовж напрямку під кутом θ до дотичної в s -му кінці j -ї тріщини.

Таким чином, розв’язок поставленої задачі про визначення залишкової довговічності пластини із системою повзучо-втомних тріщин в умовах дії блочного навантаження визначається математичною моделлю (12)–(15) з урахуванням співвідношень (16) і відомих коефіцієнтів інтенсивності напружень $K_I^{(j,s)}$, $K_{II}^{(j,s)}$.

Залежність залишкової довговічності пластини від форми блоку навантаження. Розглянемо нескінченну пластину, послаблену прямолінійною тріщиною початкової довжини $2\ell_0$, яка в нескінченно віддалених точках піддана дії рівномірно розподілених зусиль $F(t, \theta)$, зміна яких з часом і за напрямком носить блочний характер (рис. 1). Задача полягає у визначенні такої кількості $N = N_*$ блоків навантаження, за досягнення якої тріщина досягне критичного значення довжини $\ell = \ell_*$, і пластина зруйнується.

Розв’язок задачі отримаємо за наведеною вище математичною моделлю (12)–(15), яка в даному випадку набуде вигляду

$$\frac{d\ell}{dN} = \frac{W_1}{\gamma_{fC} - \gamma_t}, \quad \frac{\partial}{\partial \theta} \left[\frac{W_1}{\gamma_{fC} - \gamma_t} \right]_{\theta=\theta_*} = 0, \quad (17)$$

$$N = 0, \quad \ell(0) = \ell_0,$$

$$N = N_*, \quad \ell(N_*) = \ell_*, \quad \gamma_t(\ell_*) = \gamma_{fC}. \quad (18)$$

Тут W_1 визначаємо за співвідношенням (8). Для спрощення обчислень приймаємо $F_{th} \approx 0$. Вважаємо, що пластина із тріщиною піддана дії двочастотного навантаження з частотами ω_1 , ω_2 :

$$F(t) = b[1 + \sin(0.5t\omega_1(1 + \eta)) \cos(0.5t\omega_1(1 - \eta))],$$

$$0 \leq \omega_2/\omega_1 = \eta \leq 1. \quad (19)$$

Для кожного значення $\eta = 0, 0.2, 0.4, 0.6, 0.8, 1.0$ будемо залежність $F(t)$ і визначаємо період і форму зміни циклу. На рис. 3 зображено графіки зміни $F(t)$ для випадку $\eta = 0.6$ (цикли в блоці без витримки показано на рис. 3а, а цикли із витримками – на рис. 3б). Розбиваємо кожен цикл з періодами $T_{n\eta}$ ($\eta = 0, 0.2, 0.4, 0.6, 0.8, 1.0$) на n ділянок з піками зміни $F(t)$ (див. рис. 1 та рис. 3) і для кожної ділянки визначаємо $F_{1i \max}$, $F_{2i \max}$ і $F_{1i \min}$, $F_{2i \min}$. Тоді, інтегруючи (17) за умов (18) з урахуванням (8) і (19), отримаємо співвідношення для визначення критичної кількості блоків навантаження N_* :

$$\begin{aligned}
N_* = & \frac{4\sigma_t E}{\alpha_0 \pi^2} \int_{\ell_0}^{\ell_*} \ell^{-2} [K_{fC}^2 - F_s^2 \pi \ell] \left[\sum_{v=1}^n (F_{1v \max} - F_{1v \min})^2 + \right. \\
& + \sum_{i=1}^k (F_{2i \max} - F_{2i \min})^2 + A_2 K_{fC}^{-2m} \times \\
& \left. \times \sum_{i=1}^k (F_{2i \max}^{2m} - F_{2i \min}^{2m}) (\pi \ell)^{2m-1} \ln \left(\frac{t_0 + T_i}{t_1} \right) \right]^{-2} d\ell. \quad (20)
\end{aligned}$$

Для числового аналізу формули (20) задавали такі механічні та геометричні характеристики матеріалу [10]: $\alpha_0 = 1.24$, $\ell_0 = 1.3$ мм, $\sigma_t = 450$ МПа, $K_{fC} = 100$ МПа $\sqrt{м}$, $E = 1.9 \cdot 10^5$ МПа, $b = 120$ МПа, $A_1 = 1.25 \cdot 10^{-5}$ м/год, $m = 0.85$, $T = 12$ год, $t_1 = 0.0128$ год. На основі цих даних за співвідношенням (20) побудовано залежність N_* від η (див. рис. 4) у випадку, коли у блоці є тільки цикли з витримкою (крива 2) і цикли без витримки (крива 1). Як видно з рис. 4, блочне навантаження з часовою витримкою (крива 2) призводить до зменшення залишкової довговічності пластини. Також бачимо, що зі збільшенням відношення частот η довговічність знижується, що підтверджують експерименти (у випадку, коли в блоці є тільки цикли без витримки) [8].

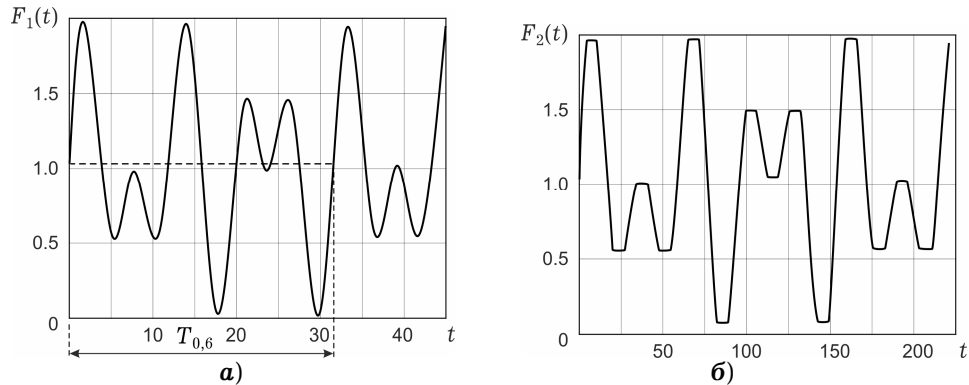


Рис. 3

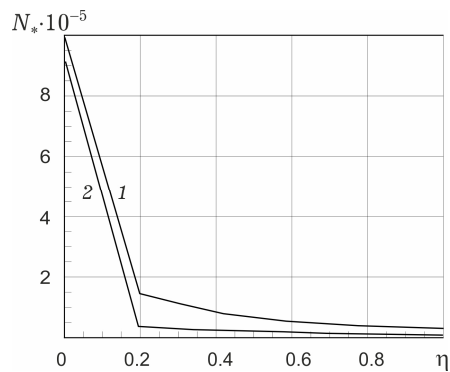


Рис. 4

Вплив навантаження вздовж тріщини. В інженерній практиці часто зустрічаються випадки, коли в тонкостінному елементі конструкції тріщина є постійно навантажена перпендикулярно до лінії її розміщення, а сам елемент конструкції розтягується циклічно вздовж цієї лінії. У цьому випадку $\Delta K_I = 0$ і, як стверджують окремі дослідники [7], поширення трі-

щини відсутнє: $V = 0$, хоча насправді тріщина буде поширюватись, тобто $V \neq 0$. Запропонована розрахункова модель дозволяє дослідити і такі випадки. Застосуємо її для дослідження поширення заданих тріщин. Для цього випадку прийемо, що

$$\begin{aligned} p &= p_0 = \text{const}, \\ q &= p_0(1 + \sin \omega t), \\ 0.2 \leq \eta_1 &= 2p_0\sigma_t^{-1} \leq 1. \end{aligned}$$

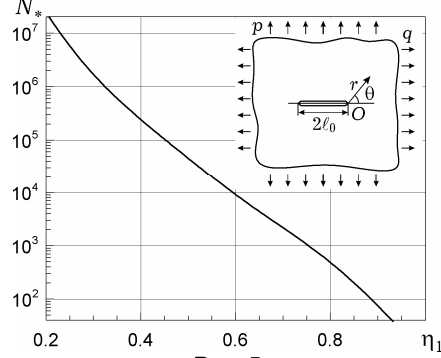


Рис. 5

Оскільки тріщина поширюється уздовж лінії розміщення (див. схему навантаження пластини на рис. 5), то кінетику її розвитку можна подати рівнянням (9), яке набуде вигляду

$$\begin{aligned} \frac{d\ell}{dN} &= \frac{\alpha_0\sigma_t}{E} \left[K_{I\max}^2 \left(\frac{\sigma_{0f}^{(\max)} - \sigma_{0f}^{(\min)}}{\sigma_{0f}^{(\min)}\sigma_{0f}^{(\max)}} \right) + A_2\sigma_t^m \left[\frac{K_{I\max}}{K_{fC}} \right]^{2m} \times \right. \\ &\quad \left. \times \left(\frac{(\sigma_{0f}^{(\max)})^m - (\sigma_{0f}^{(\min)})^m}{(\sigma_{0f}^{(\min)})^m (\sigma_{0f}^{(\max)})^m} \right) \ln \left(\frac{t_0 + T}{t_1} \right) \right]^2 \cdot [K_{fC}^2 - K_{I\max}^2]^{-1}, \\ A_2 &= A_1 t_0 E, \end{aligned} \quad (21)$$

де з урахуванням умови текучості Губера – Мізеса [6] напруження $\sigma_{0f}^{(\max)}$ і $\sigma_{0f}^{(\min)}$ запишемо як

$$\sigma_{0f}^{(\max)} = \sigma_t, \quad \sigma_{0f}^{(\min)} = 0.5\sigma_t(-\eta_1 + \sqrt{4 - 3\eta_1^2}). \quad (22)$$

Критичну довжину тріщини визначаємо за формулою $\ell_* = K_{fC}^2 \pi^{-1} p_0^{-2}$, де для спрощення обчислень приймаємо, що $K_{fC} = 0.125\sigma_t \sqrt{\pi}$.

Інтегруючи рівняння (21) з урахуванням (22), для обчислення періоду докритичного росту тріщини N_* отримаємо співвідношення

$$\begin{aligned} N_* &= \frac{\pi E}{\alpha_0\sigma_t} \int_{\ell_0}^{\ell_*} [0.125^2 - 0.5^2 \eta_1^2 \ell] [0.5^2 \eta_1^2 \ell \pi (1 - Y) Y^{-1} + \\ &\quad + A_3 4^{2m} \eta_1^{2m} \ell^m (1 - Y^m) Y^{-m} \ln((t_0 + T)t_1^{-1})]^2 d\ell, \end{aligned} \quad (23)$$

де $A_3 = A_2 \sigma_t^{-1}$ і $Y = 0.5(-\eta_1 + \sqrt{4 - 3\eta_1^2})$.

На основі формул (23) на рис. 5 побудовано графік залежності залишкової довговічності N_* від параметра навантаження $\eta_1 = 2p_0\sigma_t^{-1}$. Бачимо, що збільшення величини зусиль p_0 , що діють на тріщину, різко зменшує довговічність пластини.

Висновки. З використанням енергетичного підходу побудовано математичну модель для визначення періоду докритичного росту повзучо-втомних тріщин в тонкостінних елементах конструкцій за блочного навантаження, яка добре описує руйнування матеріалу, що при цьому відбувається. Неврахування повзучості в блоці навантаження може призвести до передчасного руйнування елемента конструкції. Отримані розрахункові дані показали фізичну коректність запропонованої моделі.

1. Андрейкив А. Е., Дарчук А. И. Усталостное разрушение и долговечность конструкций. – Киев: Наук. думка, 1992. – 184 с.

2. *Андрейків О. Є., Долінська І. Я., Яворська Н. В.* Оцінка періодів зародження і поширення повзучо-втомних тріщин у тонкостінних елементах конструкцій // Фіз.-хім. механіка матеріалів. – 2011. – **47**, № 3. – С. 7–15.
Te same: *Andreikiv O. E., Dolins'ka I. Ya., Yavors'ka N. V.* Estimation of the periods of initiation and propagation of creep-fatigue cracks in thin-walled structural elements // Mater. Sci. – 2011. – **47**, No. 3. – P. 752–763.
3. *Андрейків О. Є., Кит М. Б., Хиль С. В.* Математичне моделювання втомного руйнування пластин з тріщинами за блочного навантаження // Мат. методи та фіз.-мех. поля. – 2012. – **55**, № 1. – С. 103–112.
Te same: *Andreikiv O. E., Kit M. B., Khylyl' S. V.* Mathematical modeling of fatigue fracture of plates with cracks under block loading // J. Math. Sci. – 2013. – **190**, No. 6. – P. 752–763.
4. *Андрейків О. Є., Хиль С. В., Матвійв Ю. Я.* Розрахункова модель для визначення періоду докритичного росту тріщин в пластинах при блочному навантаженні // Доп. НАН України. – 2012. – № 1. – С. 48–54.
5. *Андрейків О., Хиль С., Долінська І.* Методи оцінювання залишкового ресурсу елементів конструкцій за блочного навантаження // Вісн. Тернопільськ. нац. техн. ун-ту. – 2011. – Спецвип., ч. 2. – С. 20–28.
6. *Панасюк В. В.* Механика квазихрупкого разрушения материалов. – Киев: Наук. думка, 1991. – 416 с.
7. *Романив О. Н., Ярема С. Я., Никифорчин Г. Н., Махутов Н. А., Стадник М. М.* Усталость и циклическая трещиностойкость конструкционных материалов. – Киев: Наук. думка, 1990. – 680 с. – (Механика разрушения и прочность материалов: Справ. пособие: В 4 т. / Под общ. ред. В. В. Панасюка. – Т. 4.)
8. *Труфяков В. И., Ковальчук В. С.* Определение долговечности при двухчастотном нагружении (Обзор) // Проблемы прочности. – 1982. – № 9. – С. 9–15; – № 10. – С. 15–20.
Te same: *Trufyakov V. I., Koval'chuk V. S.* Determination of longevity under a two-frequency load (review). Report 1; Report no. 2. Proposed method // Strength mater. – 1982. – **14**, No. 9. – P. 1165–1173; – No. 10. – P. 1303–1308.
9. *Шата М., Терлецька З. О.* Енергетичний підхід у механіці втомного поширення макротріщини // Механіка руйнування матеріалів і міцність конструкцій / Під заг. ред. В. В. Панасюка: В 3 т. – Т. 2: Аналітичні методи в механіці руйнування матеріалів. – Львів: Каменяр, 1999. – С. 141–148.
10. *Gladwin D. N., Miller D. A., Neate G. J., Priest R. H.* Creep, fatigue and creep-fatigue crack growth rates in parent and simulated HAZ type 321 stainless steel // Fatig. Fract. Eng. Mater. Struct. – 1988. – **11**, No. 5. – P. 355–370.
11. *Handbook of fatigue crack propagation in metallic structures / A. Carpinteri (Ed).* – Amsterdam: Elsevier Sci. B. V., 1994. – 1765 p.
12. *Panasjuk V. V., Andreikiv O. Ye., Riteche R. O., Darchuk O. I.* Estimation of the effects of plasticity and resulting crack closure during small fatigue crack growth // Int. J. Fract. – 2001. – **107**, No. 2. – P. 99–115.
13. *Schijve J.* Fatigue of structures and materials in the 20th century and the state of the art // Proc. ECF-14 (Cracow, Poland, Sept. 8–13, 2002). – 2002. – Vol. III. – P. 211–262.

ОПРЕДЕЛЕНИЕ ПЕРИОДА ДОКРИТИЧЕСКОГО РОСТА ПОЛЗУЧЕ-УСТАЛОСТНЫХ ТРЕЩИН ПРИ БЛОЧНОЙ НАГРУЗКЕ

Сформулирована математическая модель для исследования процессов распространения ползуче-усталостных трещин в пластинах при блочной нагрузке. Исследовано влияние формы блоков нагрузки на долговечность элементов конструкций. Определен докритический рост ползуче-усталостных трещин в тонкостенных элементах конструкций.

DETERMINATION OF PERIOD OF SUBCRITICAL CREEP-FATIGUE CRACKS GROWTH UNDER BLOCK LOADING

The mathematical model to study the processes of creep-fatigue cracks propagation in plates under block loading is formulated. The effect of the blocks loading shape on the life-time of structural elements is investigated. The subcritical growth of creep-fatigue cracks in thin-walled structural elements is determined.

¹ Львів. нац. ун-т імені Івана Франка, Львів,

² Фіз.-мех. ін-т ім. Г. Карпенка НАН України, Львів